

[文章编号] 1007-3949(2011)19-12-0963-06

• 实验研究 •

## 组织蛋白酶 L 在动脉粥样硬化病变中的表达以及对巨噬细胞脂质蓄积的影响

危当恒<sup>1</sup>, 夏敏<sup>2</sup>, 贾小英<sup>1</sup>, 刘艳辉<sup>1</sup>, 田国平<sup>1,2</sup>

(1. 动脉硬化学湖南省重点实验室 南华大学心血管疾病研究所, 2. 南华大学附属第二医院, 湖南省衡阳市 421001)

[关键词] 组织蛋白酶 L; 氧化型低密度脂蛋白; 动脉粥样硬化; 巨噬细胞

[摘要] 目的 观察组织蛋白酶 L 在动脉粥样硬化病变中的表达以及对巨噬细胞脂质蓄积的影响。方法 颈总动脉套环并饲以高脂饮食建立兔颈总动脉粥样硬化模型, 免疫组织化学方法检测斑块内组织蛋白酶 L 的表达。氧化型低密度脂蛋白孵育 RAW264.7 巨噬细胞 24 h, 逆转录聚合酶链反应、Western blot 以及荧光分光光度法检测组织蛋白酶 L 表达和活性。组织蛋白酶 L 抑制剂预处理巨噬细胞, 油红 O 染色以及高效液相色谱法观察细胞内脂质蓄积。结果 正常血管中不表达组织蛋白酶 L, 斑块内组织蛋白酶 L 高表达。巨噬细胞经不同浓度氧化型低密度脂蛋白孵育 24 h 后, 组织蛋白酶 L mRNA 的表达量在各组间无明显差异 ( $P > 0.05$ ), 但蛋白表达量以及活性明显增加 ( $P < 0.05$ )。组织蛋白酶 L 抑制剂剂量依赖性地抑制巨噬细胞内脂质积蓄。结论 组织蛋白酶 L 在动脉粥样硬化斑块中高表达并参与巨噬细胞脂质代谢。

[中图分类号] R363

[文献标识码] A

### The Expression of Cathepsin L in Atherosclerotic Lesion and the Effect on Lipid Accumulation of Macrophage

WEI Dang-Heng<sup>1</sup>, XIA Min<sup>2</sup>, JIA Xiao-Ying<sup>1</sup>, LIU Yan-Hui<sup>1</sup>, and TIAN Guo-Ping<sup>1,2</sup>

(1. Key Laboratory for Arteriosclerosis of Hunan Province &amp; The Institute of Cardiovascular Disease, University of South China, Hengyang, Hunan 421001, China; 2. Second Affiliated Hospital of University of South China, Hengyang, Hunan 421001, China)

[KEY WORDS] Cathepsin L; Oxidized Low Density Lipoprotein; Atherosclerosis; Macrophage

[ABSTRACT] Aim To observe the expression of cathepsin L (Cat L) in atherosclerotic lesion and investigate its role in lipid accumulation of macrophage. Methods Atherosclerosis model of rabbit carotid artery was established by using ringer of carotid artery. Immunohistochemistry was taken to examine the expression of Cat L in plaques. RAW264.7 macrophage was cultured and treated with various concentrations of oxidized low density lipoprotein (ox-LDL). The mRNA level, the protein expression and the activity of Cat L were detected by reverse transcription polymerase chain reaction (RT-PCR), Western blot and spectrophotometer, respectively. The RAW264.7 macrophage was pretreated with various concentrations of Cat L inhibitor, the accumulation of cellular lipid was detected by oil red O staining and high performance liquid chromatography (HPLC). Results Cat L was highly expressed in atherosclerotic lesion, while very weak positive staining was observed in normal vascular. After treatment with oxidized low density lipoprotein, the Cat L mRNA levels were not obviously different among groups ( $P > 0.05$ ). However, the protein expression and the activity of Cat L were increased with a concentration-dependent manner ( $P < 0.05$ ). With pretreatment of Cat L inhibitor, the deposition of lipid was inhibited responding to the inhibitor concentration. Conclusion Cat L was highly expressed in the atherosclerotic plaque and involved in the process of macrophage lipid metabolism.

[收稿日期] 2011-07-06

[基金项目] 国家自然科学基金(30800449)和湖南省卫生厅项目(C2008-012)资助

[作者简介] 危当恒, 博士, 副教授, 研究方向为动脉粥样硬化的发病机制及其防治, 联系电话为 0734-8281297, E-mail 为 weizhonghua99@126.com。夏敏, 硕士研究生, E-mail 为 dajiafengfan84@126.com。田国平, 硕士, 副主任医师, 研究方向为心血管内科, E-mail 为 tianguoping@ynet.cn。

组织蛋白酶 L (cathepsin L, Cat L) 属于木瓜蛋白酶家族中的半胱氨酸蛋白水解酶, 以酶原的形式储存于溶酶体中。在正常情况下, 被其它的蛋白水解酶水解或自身激活, 参与许多特殊的生理过程, 如激素原的激活、抗原呈递、组织蛋白的发育等<sup>[1]</sup>。但在病理状态下, 大量 Cat L 释放到胞质或组织间隙, 并被激活, 降解细胞成分或细胞间质基质组分, 参与肿瘤的浸润与转移、关节炎、骨质疏松、动脉粥样硬化等慢性炎症性疾病的发生发展过程<sup>[2-6]</sup>。

Kitamoto 等<sup>[7]</sup> 对 CatL<sup>-/-</sup> LDLR<sup>-/-</sup> 鼠、CatL<sup>+/+</sup> LDLR<sup>-/-</sup> 小鼠以及 CatL<sup>+/+</sup> LDLR<sup>-/-</sup> 小鼠的研究结果表明: 在喂饲高脂饮食 13 周后, 与 CatL<sup>+/+</sup> LDLR<sup>-/-</sup> 小鼠相比, CatL<sup>-/-</sup> LDLR<sup>-/-</sup> 小鼠以及 CatL<sup>+/+</sup> LDLR<sup>-/-</sup> 小鼠血浆总胆固醇含量明显降低, 其中低密度脂蛋白 (low density lipoprotein, LDL) 以及乳糜微粒 (chylomicron, CM) 的含量明显降低, 动脉粥样硬化 (atherosclerosis, As) 斑块面积明显减少, 发展速度明显减缓, 脂质核心的体积明显减小, 斑块中的胶原蛋白和弹性蛋白含量明显增多, 提示 Cat L 不仅通过参与细胞外基质的降解, 还可能通过调节脂质代谢参与 As 的发生发展。本研究通过观察 Cat L 在 As 斑块的表达以及对巨噬细胞脂质蓄积的影响, 探讨 Cat L 在 As 发生发展的作用。

## 1 材料和方法

### 1.1 材料

新西兰大白兔购自南华大学实验中心。小鼠单核巨噬细胞 RAW264.7 购自中国科学院上海细胞生物医学研究所细胞库。Cat 抑制剂 (Z-FY-CHO) 购自美国 Santa Cruz 公司。

### 1.2 动脉粥样硬化动物模型的建立

8 只重量为 1.9~2.5 kg 的雄性新西兰大白兔购自南华大学实验动物中心。随机分为 2 组, 每组 4 只。实验组腹腔注射戊巴比妥钠溶液 (30 mg/kg) 麻醉, 分离出左、右侧颈总动脉, 硅胶管套环于左侧颈总动脉上, 手术线固定套环, 高脂饮食 (2% 胆固醇 + 10% 的猪油) 4 周。对照组饲以普通饮食。

### 1.3 血脂测定

耳缘静脉采血, 酶法测定血清中总胆固醇 (total cholesterol, TC)、甘油三酯 (triglyceride, TG)、高密度脂蛋白胆固醇 (high density lipoprotein cholesterol, HDLC), Friedwald 公式计算低密度脂蛋白胆固醇 (low density lipoprotein cholesterol, LDLC)。

### 1.4 颈总动脉病理学观察

剥离颈总动脉, 10% 中性福尔马林固定 24 h。蒸馏水冲洗 0.5~1 h, 梯度酒精脱水, 石蜡包埋, 连续切片 (厚度为 5 μm), 烤片 1 h, 切片常规脱蜡入水, HE 染色, 光学显微镜下观察动脉粥样硬化斑块病变。

### 1.5 油红 O 染色观察斑块中脂质的蓄积

将制作好的切片用磷酸盐缓冲液 (phosphate buffered solution, PBS) 冲洗 3×5 min; 50% 异丙醇固定 1 min, 油红 O 染色 10 min; 水性封片剂封片, 光学显微镜观察并摄像保存。

### 1.6 免疫组织化学检测斑块中组织蛋白酶 L 的表达

切片常规脱蜡、入水, 3% 过氧化氢-甲醇封闭内源性过氧化酶, PBS 液洗涤后加入一抗 (1: 100 稀释), 后续步骤按试剂盒操作说明进行, DAB 显色, 苏木素复染。结果判定, 棕黄色颗粒为阳性<sup>[8]</sup>。

### 1.7 细胞培养

实验分为 4 组: ①对照组: 细胞于含 10% 胎牛血清基础培养基孵育 24 h; ②2 mg/L 氧化型低密度脂蛋白 (oxidized low density lipoprotein, ox-LDL) 组: 在细胞培养液中加入 2 mg/L ox-LDL 孵育 24 h; ③10 mg/L ox-LDL 组: 在细胞培养液中加入 10 mg/L ox-LDL 孵育 24 h; ④50 mg/L ox-LDL 组: 在细胞培养液中加入 50 mg/L ox-LDL 孵育 24 h。

### 1.8 逆转录聚合酶链反应检测组织蛋白酶 L mRNA 的表达

细胞总 RNA 的提取按照试剂盒说明进行。将 1 mg 总 RNA 逆转录, 取逆转录产物 1 mL 进行聚合酶链反应 (polymerase chain reaction, PCR) 循环。Cat L 上游引物为: 5'-CTGTTCCCATTTCATGG-3', 下游引物为: 5'-TTCCAGACTCAGAATTAAGC-3'。反应结束后, 取逆转录聚合酶链反应 (reverse transcription polymerase chain reaction, RT-PCR) 产物在 1.5% 的琼脂糖凝胶电泳中电泳, 凝胶成像分析系统扫描并分析 mRNA 的表达。实验重复 3 次。

### 1.9 Western blot 检测组织蛋白酶 L 蛋白表达

收获细胞并加入裂解缓冲液裂解细胞。15% 十二烷基硫酸钠聚丙烯酰胺凝胶电泳 (sodium dodecyl sulfate polyacrylamide gel electrophoresis, SDS-PAGE) 进行分离, 转膜。封闭液封闭, Cat L 或 β-actin 一抗 4℃ 孵育过夜, TBST (tris-buffered saline and tween 20) 洗 3 次; 辣根过氧化物酶标记二抗室温孵育 1 h, TBST 洗 3 次, Western 印迹荧光检测试剂盒显色, 曝光于 X 光片。Labwork 凝胶图像分析系统扫描并进行图像分析。

### 1.10 组织蛋白酶 L 活性检测

将接近融合的小鼠单核巨噬细胞 RAW264.7 分别加 0、2、10 及 50 mg/L 的 ox-LDL, 恒温箱中孵育 24 h, 按试剂盒说明处理细胞, 荧光分光光度计检测各组荧光值。

### 1.11 细胞油红 O 染色

将接近融合的小鼠单核巨噬细胞 RAW264.7 分别加 0、2、4 及 6 mg/L 的 Cat L 抑制剂预处理 24 h, 然后加 ox-LDL 至终浓度为 50 mg/L, 孵育 24 h。PBS 液冲洗 3×5 min, 50% 异丙醇固定 1 min, 油红 O 染色液染色 10 min, 苏木素衬染 5 min, 盐酸酒精分色; 水性封片剂封片, 光学显微镜观察。

### 1.12 细胞内脂质含量测定

0.2、4 及 6 mg/L 的 Cat L 预处理小鼠单核巨噬细胞 24 h, 50 mg/L ox-LDL 孵育 24 h。收集细胞, 超声裂解, 15% 醇溶性氢氧化钾-正己烷-异丙醇(两者溶液的体积比为 4:1), 分离脂质, 真空冷冻干燥。加入流动相震荡溶解, 超声除气 5 min, 15 000 r/min, 4℃, 离心 5 min, 收集上清液备用。

取 5 μL 样品进样, C4 反相柱, 以异丙醇: 正庚烷: 乙腈为流动相, 非梯度洗脱, 1 mL/min, 柱温 40℃, 检测波长 216 nm, 检测到第 8 min, 单位为 μg/g 蛋白<sup>[9]</sup>。

### 1.13 统计学分析

所有数据用  $\bar{x} \pm s$  表示, 多个样本均数比较采用方差分析, 样本均数间的多重比较采用 LST-t 检验, 由 SPSS 13.0 统计软件完成,  $P < 0.05$  为差异有显著性意义。

## 2 结果

### 2.1 饮食对血脂的影响

实验组高脂高胆固醇喂养后, TC 和 LDL 迅速升高, 差异有显著性 ( $P < 0.05$ ), 而 HDLC 虽然略有升高, 但差异无显著性 ( $P > 0.05, n = 4$ ), 对照组血脂水平无明显变化。

### 2.2 颈总动脉病理形态观察

HE 染色的结果表明, 左颈动脉套环 4 周并饲以高脂饮食后形成明显的动脉粥样硬化斑块, 斑块内含有大量炎性细胞和泡沫细胞, 而对照血管内表面光滑, 无动脉粥样硬化性病变形成(图 1)。

### 2.3 颈总动脉脂质蓄积观察

油红 O 染色血管壁内脂质, 可见动脉粥样硬化病变区有大量红染脂滴, 并且主要集中在增生的内膜, 而在对照血管内无明显的脂质蓄积(图 2)。

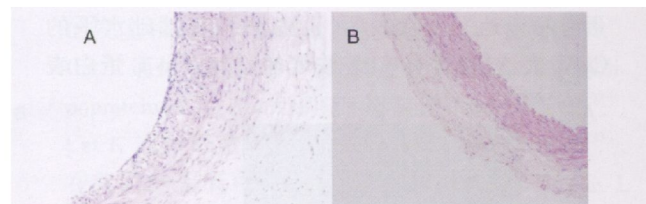


图 1. 颈总动脉套环/高脂饮食对兔颈总动脉病害的影响( $\times 100$ ) A 为套环组血管, B 为对照组血管。

Figure 1. Effect of ring and high fat/cholesterol diet on pathology of common carotid artery ( $\times 100$ )

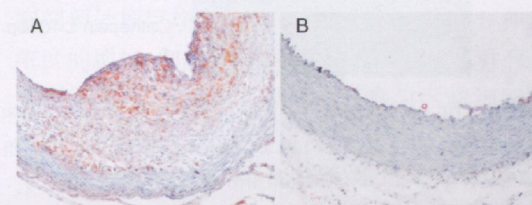


图 2. 颈总动脉套环/高脂饮食对兔颈总动脉脂质蓄积的影响( $\times 100$ ) A 为套环组血管, B 为对照组血管。

Figure 2. Effect of ring and high fat/cholesterol diet on lipid deposition in common carotid artery ( $\times 100$ )

### 2.4 组织蛋白酶 L 在颈总动脉的表达

免疫组织化学检测结果表明, 正常血管组织不表达 Cat L(图 3B), 但在动脉粥样硬化斑块中 Cat L 高表达, 并且主要集中在增生的内膜(图 3A)。

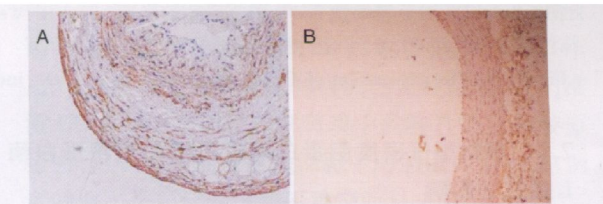


图 3. 免疫组织化学检测 Cat L 在动脉粥样硬化斑块中的表达( $\times 100$ ) A 为套环组血管, B 为对照组血管。

Figure 3. The expression of Cat L in atherosclerotic lesion ( $\times 100$ )

### 2.5 氧化型低密度脂蛋白对巨噬细胞组织蛋白酶 L mRNA 表达的影响

用不同浓度的 ox-LDL 处理小鼠单核巨噬细胞 RAW264.7 24 h, 然后用 RT-PCR 检测各组细胞中 Cat L mRNA 的表达, 结果表明, 各组间 Cat L mRNA 的表达无明显的差异 ( $P > 0.05$ ; 图 4)。

### 2.6 氧化型低密度脂蛋白对巨噬细胞组织蛋白酶 L 蛋白表达的影响

用不同浓度的 ox-LDL 处理小鼠单核巨噬细胞 RAW264.7 24 h, Western blot 检测各组细胞中 Cat L

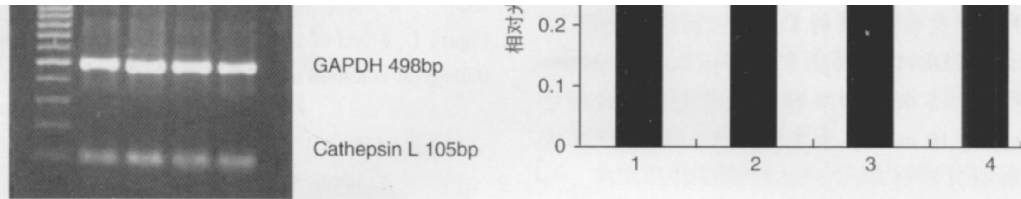


图4. ox-LDL 对巨噬细胞 Cat L mRNA 表达的影响 A图:RT-PCR 产物的琼脂糖凝胶电泳图,泳道1为对照组;泳道2为2 mg/L ox-LDL 组;泳道3为10 mg/L ox-LDL 组;泳道4为50 mg/L ox-LDL 组。B图:ox-LDL 对巨噬细胞 Cat L mRNA 表达的影响的统计学结果,各组间差异无显著性 ( $P > 0.05$ , 与对照组相比,  $n = 3$ )。

Figure 4. The expression of Cat L mRNA in ox-LDL induced macrophage

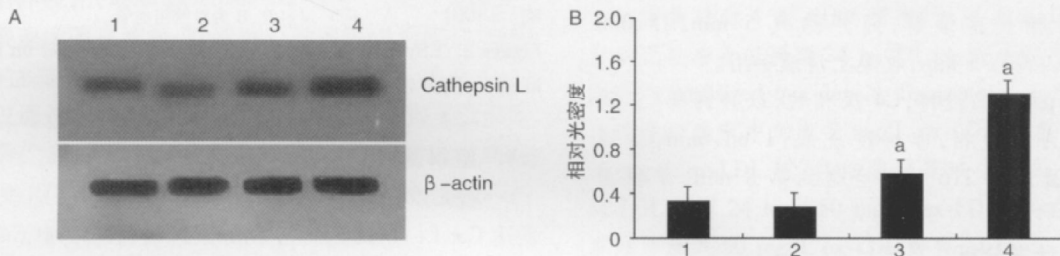


图5. ox-LDL 对巨噬细胞 Cat L 蛋白表达的影响 A图:Western blot 检测结果。B图:ox-LDL 对巨噬细胞 Cat L 蛋白表达的影响的统计学结果;a 为  $P < 0.05$ , 与对照组比较,  $n = 3$ 。

Figure 5. The expression of Cat L expression in ox-LDL induced macrophage

## 2.7 氧化型低密度脂蛋白对巨噬细胞组织蛋白酶L活性的影响

活性检测的结果表明,与Cat L的蛋白表达类似,在较低ox-LDL浓度下Cat L的活性无明显改变,但随着ox-LDL浓度的增加,Cat L的活性明显增加(图6)。

## 2.8 组织蛋白酶L抑制剂对巨噬细胞脂质蓄积的影响

油红O染色的结果表明,对照组(0 mg/L Cat L抑制剂)在经ox-LDL孵育后,细胞内有大量的红染脂滴(图7A);而在Cat L抑制剂预处理组,随着Cat L抑制剂浓度的增加,细胞内红染的脂滴数量明显



图 7. Cat L 抑制剂对巨噬细胞脂质蓄积的影响 ( $\times 200$ )

A 为 Cat L 抑制剂 0 mg/L 组; B 为 Cat L 抑制剂 2 mg/L 组; C 为 Cat L 抑制剂 4 mg/L 组; D 为 Cat L 抑制剂 6 mg/L 组。

**Figure 7. The effect of Cat L inhibitor on lipid deposition in ox-LDL induced macrophage ( $\times 200$ )**



细胞的胆固醇代谢活性。

为了进一步验证 Cat L 参与巨噬细胞胆固醇的代谢过程,在实验中我们采用不同浓度的 Cat L 抑制剂预处理巨噬细胞,结果表明随着 Cat L 抑制剂浓度的增加,细胞内的脂质含量明显降低,并且具有浓度依赖性,进一步证明 Cat L 参与巨噬细胞的胆固醇代谢过程。

研究表明,ATP 结合盒转运子 A1 (ATP-binding cassette transporter A1, ABCA1) 通过介导磷脂和胆固醇从细胞内主动流出到 ApoA I 上形成 HDL, 在细胞脂质代谢中起着非常重要的作用。并且 Cat L 家族成员 Cat D 通过调控 ABCA1 的表达调节单核细胞源性巨噬细胞胆固醇的流出<sup>[14,15]</sup>。但 Cat L 是否通过

组织蛋白酶 L 在动脉粥样硬化中的作用研究进展 [J]. 中国动脉硬化杂志, 2009, 17 (7): 558-560.

- [1] 夏敏, 田国平, 岑立恒. 组织蛋白酶 L 在心血管疾病中的作用研究进展 [J]. 中国动脉硬化杂志, 2009, 17 (7): 558-560.
- [2] Friedrich C. Luft. From furless to heartless-unraveling the diverse functions of cathepsin L [J]. J Mol Med, 2009, 87 (3): 225-227.
- [3] Goulet B, Sansregret L, Leduy L, et al. Increased expression and activity of nuclear cathepsin L in cancer cells suggests a novel mechanism of cell transformation [J]. Mol Cancer Res, 2007, 5 (9): 899-907.
- [4] 曹新广, 郭长青, 李继昌, 等. 原位杂交检测组织蛋白酶 L 在大肠癌中的表达 [J]. 肿瘤基础与临床, 2007, 16 (1): 9-11.
- [5] 王素梅, 李力, 张玮, 等. 血清组织蛋白酶 L 在卵巢

研究表明,组织蛋白酶家族成员不仅仅具有内肽酶的活性,降解和更新细胞内蛋白质,降解层粘素、胶原纤维IV、纤维连接素等细胞以及细胞间质组分,并通过调控脂质代谢过程而参与动脉粥样硬化

- 癌诊断及检测中的临床意义 [J]. 中国临床肿瘤, 2008, 14 (3) : 167-168.
- [6] Sullivan S, Tosetto M, Kevsens P, et al. Localization of nuclear cathepsin L and association with disease progression and poor outcome in colorectal cancer [J]. Int J Cancer, 2009, 125 (1) : 54-61.
- [7] Kitamoto S, Sukhova GK, Sun J, et al. Cathepsin L deficiency reduces diet-induced atherosclerosis in low-density
- sion and regulation in human abdominal aortic aneurysm, atherosclerosis, and vascular cells [J]. Atherosclerosis, 2006, 184 (2) : 302-311.
- [12] Chen J, Tung CH, Mahmood U, et al. In vivo imaging of proteolytic activity in atherosclerosis [J]. Circulation, 2002, 105 (23) : 2766-771.
- [13] Lindstedt L, Lee M, Oorni K, et al. Cathepsins F and S block HDL3-induced cholesterol efflux from macrophage